

3DCSM - Body Handling

Institute of Automation and Control Engineering
UNIT, Hall in Tirol, Austria

- 1 Ziel des Arbeitspaketes
- 2 Reduziertes Modell
 - Modell mit Parameter
 - Auswahl charakteristischer Federsteifigkeiten
- 3 Herleitung der Bewegungsgleichungen
- 4 Vorwärtskinematik
- 5 Ergebnisse
- 6 Verbesserungen des Modells
- 7 Next Steps

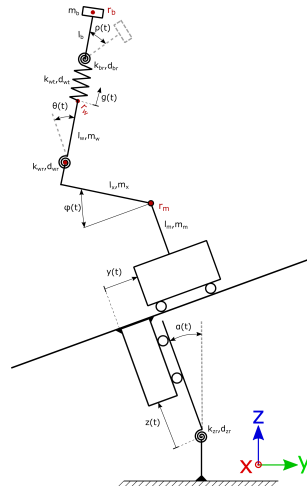
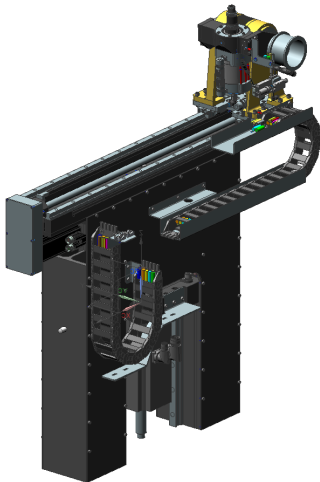
- 1 Ziel des Arbeitspaketes
- 2 Reduziertes Modell
 - Modell mit Parameter
 - Auswahl charakteristischer Federsteifigkeiten
- 3 Herleitung der Bewegungsgleichungen
- 4 Vorwärtskinematik
- 5 Ergebnisse
- 6 Verbesserungen des Modells
- 7 Next Steps

Erstellen eines dynamischen Modells für das Body-Handling

- ▶ Abbildung des dynamischen Systemverhaltens, statische Aspekte stehen dabei im Hintergrund
- ▶ Das Modell mit Abstraktion des Motors über Momentenvorgabe ist verfügbar
- ▶ Die um das Motormodell ergänzte Modellstruktur ist fertiggestellt
- ▶ Die Modelle sind dokumentiert

- 1 Ziel des Arbeitspaketes
- 2 Reduziertes Modell
 - Modell mit Parameter
 - Auswahl charakteristischer Federsteifigkeiten
- 3 Herleitung der Bewegungsgleichungen
- 4 Vorwärtskinematik
- 5 Ergebnisse
- 6 Verbesserungen des Modells
- 7 Next Steps

- ▶ Ziel: Einfache und möglichst genau dynamische Abbildung des realen Systems
- ▶ Rechtfertigung für ein ebenes Modell: Kein Freiheitsgrad in x-Richtung



Generalisierte Koordinaten des Modells

$$\mathbf{q} = [y(t), z(t), \varphi(t), \theta(t), \alpha(t), g(t), \rho(t)]^T$$

Geometrische Parameter in m

$$l_m = 0.1 \quad l_z = 0.701$$

$$l_x = 0.079 \quad l_y = 0.06 \quad l_h = 0.0286$$

Massen in kg

$$m_m = 7.62 \quad m_x = 4.87 \quad m_w = 2.37$$

$$m_b = 0.024 \quad m_z = 77.3$$

Massenträgheitsmomente um X-Achse in kgm^2

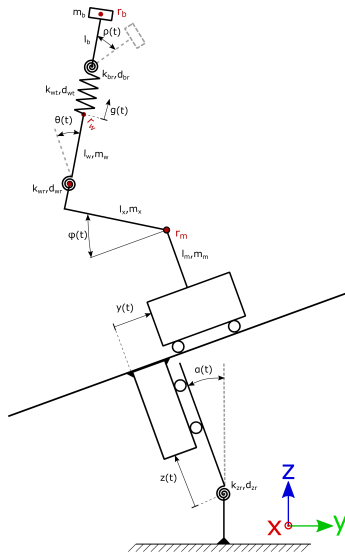
$$J_x = 0.0126 \quad J_w = 0.0138 \quad J_y = 0.063$$

$$J_b = 0.0000077 \quad J_z = 7.191$$

Federkonstanten

$$k_{wr} = 217.19 \frac{kNm}{rad} \quad k_{br} = 34.9 \frac{kNm}{rad}$$

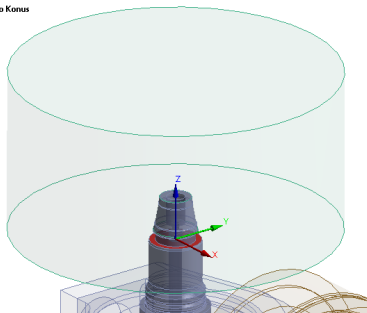
$$k_{wt} = 6069 \frac{kN}{m} \quad k_{zr} = 2902.4 \frac{kNm}{rad}$$



Steifigkeit Body Holder + Konusverbindung

Bushing - Welle To Konus
18.07.2018 14:54

X
Y
Z
RX
RY
RZ



Steifigkeit von Body Holder und der Konusverbindung Body Holder / Body wurde als Steifigkeitsmatrix in einer virtuellen Schnittstelle unterhalb des Konus abgebildet.
Dadurch können externe Lasten direkt auf den Kontaktflächen des Konus aufgebracht werden

Stiffness Coefficients

Stiffness	Per Unit X (mm)	Per Unit Y (mm)	Per Unit Z (mm)	Per Unit Rx (rad)	Per Unit Ry (rad)	Per Unit Rz (rad)
Δ Force X (N)	32661					
Δ Force Y (N)	0	32661				
Δ Force Z (N)	0	0	6048.6			
Δ Moment X (Nmm)	0	0	0	3.4899e-007		
Δ Moment Y (Nmm)	0	0	0	0	3.4899e-007	
Δ Moment Z (Nmm)	0	0	0	0	0	3.4899e-007

Auslenkung Bodyholder infolge externer Kraft

$$k_{Mx} = 34.9 \frac{kNm}{rad}, F_{ext} = 20N, l = 0.075m, r = 0.0286m$$

$$M_{ext} = 0.075 \cdot 20 = 1.5Nm, \quad \rho = \frac{M_{ext}}{k_{Mx}} = 42\mu rad$$

$$\Delta z = \rho \cdot l = 3.15\mu m \quad \Delta y = \rho \cdot r = 1.20\mu m$$

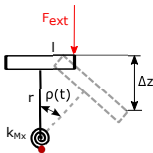
Auslenkung Bodyholder infolge Trägheit

$$M_g = m_b \cdot g \cdot r = 6.7Nmm, \quad \rho = \frac{M_g}{k_{Mx}} = 0.193\mu rad$$

$$\Delta y = \rho \cdot r = 5.52nm$$

Eigenfrequenz

$$f_0 = 5687.2Hz \quad \text{mit leichtem Bodyholder } m_b = 0.024kg$$



► Axialkraft Bodyholder (Konussteifigkeit)

$$k_{Fz} = 6069 \frac{kN}{m}, \quad F_{ext} = 20N, \quad \Delta z = \frac{F_{ext}}{k_{Fz}} = \mathbf{3.3\mu m}$$

$$f_0 = \mathbf{2515.4Hz} \quad \text{mit leichtem Bodyholder } 0.024kg$$

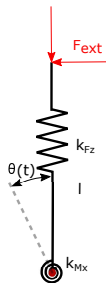
► Verkippung RotBody-Achse (ausschließlich aufgrund der Lagersteifigkeit, Welle selbst als Starrkörper angenommen)

$$k_{Mx} = 217.19 \frac{kNm}{rad}, \quad F_{ext} = 20N, \quad l = 0.06m$$

$$M_{ext} = 0.06 \cdot 20 = 1.2Nm, \quad \theta = \frac{M_{ext}}{k_{Mx}} = 5.525\mu rad$$

$$\Delta y = \theta \cdot l = \mathbf{0.33\mu m}$$

$$f_0 = \mathbf{516.5Hz} \quad \text{ohne Bodyholder}$$



► Biegung RotX-Achse

$$k_{Mx} = 315 \frac{kNm}{rad}, \quad F_{ext} = 20N, \quad l = 0.079m$$

$$M_{ext} = 0.079 \cdot 20 = 1.58Nm$$

$$\varphi = \frac{M_{ext}}{k_{Mx}} = 5\mu rad$$

$$\Delta y = \theta \cdot l = \mathbf{0.396\mu m}$$

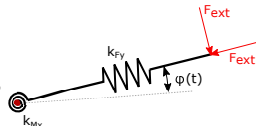
$$f_0 = \mathbf{543.9Hz} \quad \text{nur mit Masse } m_x \text{ ohne } m_w, m_b$$

► RotX Axialkraft

$$k_{Fy} = 57597 \frac{kN}{m}, \quad F_{ext} = 20N$$

$$\Delta y = \frac{F_{ext}}{k_{Fy}} = \mathbf{0.35\mu m}$$

$$f_0 = \mathbf{547.34Hz} \quad \text{ebenfalls nur mit Masse } m_x$$



- 1 Ziel des Arbeitspaketes
- 2 Reduziertes Modell
 - Modell mit Parameter
 - Auswahl charakteristischer Federsteifigkeiten
- 3 Herleitung der Bewegungsgleichungen
- 4 Vorwärtskinematik
- 5 Ergebnisse
- 6 Verbesserungen des Modells
- 7 Next Steps

Aufstellen der kinetischen und den potentiellen Energien

$$T_t = \frac{1}{2} \left(m_m v_{com_m}^2 + m_d v_{com_d}^2 + m_w v_{com_w}^2 + m_b v_{com_b}^2 \right)$$

$$T_r = \frac{1}{2} \left(J_z \dot{\alpha}^2 + J_x (\dot{\alpha} + \dot{\varphi})^2 + J_w (\dot{\alpha} + \dot{\varphi} + \dot{\theta})^2 + J_b (\dot{\alpha} + \dot{\varphi} + \dot{\theta} + \dot{\rho})^2 \right)$$

$$U_t = \frac{1}{2} k_{wt} g(t)^2$$

$$U_r = \frac{1}{2} \left(k_{zr} \alpha(t)^2 + k_{wr} \theta(t)^2 + k_{br} \rho(t)^2 \right)$$

Lagrange-Gleichung

$$L = T_t + T_r - (U_t + U_r)$$

Dissipationsfunktionen:

$$D_t = \frac{1}{2} d_{wt} \dot{g}(t)^2, \quad D_r = \frac{1}{2} \left(d_{zr} \dot{\alpha}(t)^2 + d_{wr} \dot{\theta}(t)^2 + d_{br} \dot{\rho}(t)^2 \right)$$

$$D_{ges} = D_t + D_r$$

Generalisierte Kräfte:

$$Q = [F_y, F_z, M_\varphi, 0, 0, 0, 0]^T$$

Lagrange Gleichung 2. Art:

$$\frac{d}{dt} \left(\frac{\partial L}{\partial \dot{\mathbf{q}}} \right) - \frac{\partial L}{\partial \mathbf{q}} + \frac{\partial D_{ges}}{\partial \dot{\mathbf{q}}} = Q$$

$$M = \frac{\partial}{\partial \dot{\mathbf{q}}} \frac{\partial L}{\partial \dot{\mathbf{q}}}, \quad C = \frac{\partial}{\partial \mathbf{q}} \frac{\partial L}{\partial \dot{\mathbf{q}}}, \quad F = \frac{\partial L}{\partial \mathbf{q}}, \quad D = \frac{\partial D}{\partial \dot{\mathbf{q}}}$$

$$M\ddot{\mathbf{q}} + C\dot{\mathbf{q}} - F = Q - D$$

$$\Rightarrow \ddot{\mathbf{q}} = -M^{-1}C\dot{\mathbf{q}} + M^{-1}F + M^{-1}Q - M^{-1}D$$

- Zur Simulation des Systems werden die Bewegungsdifferentialgleichungen in Form von DGL 1. Ordnung übergeben

- 1 Ziel des Arbeitspaketes
- 2 Reduziertes Modell
 - Modell mit Parameter
 - Auswahl charakteristischer Federsteifigkeiten
- 3 Herleitung der Bewegungsgleichungen
- 4 Vorwärtskinematik
- 5 Ergebnisse
- 6 Verbesserungen des Modells
- 7 Next Steps

- Ziel: Darstellung der Position des Bodies

Transformationsmatrizen

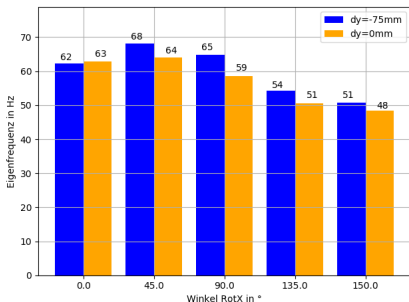
$$\begin{aligned}
 T_{0y} &= \begin{bmatrix} \cos \alpha & -\sin \alpha & 0 \\ \sin \alpha & \cos \alpha & z_{Feder} \\ 0 & 0 & 1 \end{bmatrix}, & T_{ym} &= \begin{bmatrix} -\cos \varphi & \sin \varphi & y(t) + rx_{y0} \\ \sin \varphi & \cos \varphi & z(t) + rx_{z0} \\ 0 & 0 & 1 \end{bmatrix} \\
 T_{mw} &= \begin{bmatrix} \cos(\theta) & -\sin(\theta) & lx_y \\ \sin(\theta) & \cos(\theta) & lx_z \\ 0 & 0 & 1 \end{bmatrix}, & T_{wb} &= \begin{bmatrix} \cos \rho & -\sin \rho & dy \\ \sin \rho & \cos \rho & l_w + g(t) + l_b \\ 0 & 0 & 1 \end{bmatrix} \\
 T_{0b} &= T_{0y} \cdot T_{ym} \cdot T_{mw} \cdot T_{wb}
 \end{aligned}$$

Ausgangspunkt: Ursprung $\mathbf{r}_0 = [0, 0]^T$

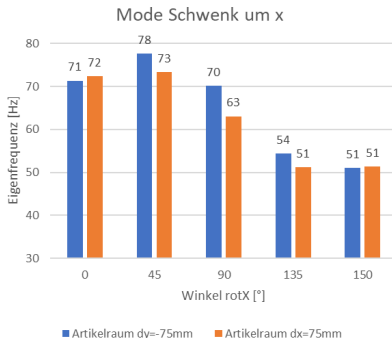
$$\begin{bmatrix} \mathbf{r}_b \\ 1 \end{bmatrix} = T_{0b} \cdot \begin{bmatrix} \mathbf{r}_0 \\ 1 \end{bmatrix}$$

- 1 Ziel des Arbeitspaketes
- 2 Reduziertes Modell
 - Modell mit Parameter
 - Auswahl charakteristischer Federsteifigkeiten
- 3 Herleitung der Bewegungsgleichungen
- 4 Vorwärtskinematik
- 5 Ergebnisse**
- 6 Verbesserungen des Modells
- 7 Next Steps

Eigenfrequenzen in Abhängigkeit verschiedener Stellungen der RotX-Achse



Simulation



FEM-Simulation

- Zur Bestimmung der Eigenfrequenzen wurde kein Regler verwendet. Achsen wurden starr ausgelegt.

Gilt für alle Simulationsszenarien

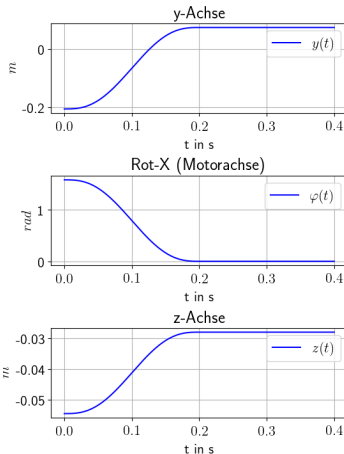
- ▶ Simulationszeit: $t_0 = 0$, $T = 400ms$
- ▶ Bewegungsdauer: $200ms$
- ▶ Ausgangs- und Zielposition sind identisch. Die Orientierung der RotX-Achse wird jedoch geändert.

$$ee(t) = [y(t), z(t), \varphi(t)]$$

$$ee(t = 0) = [0.04m, 0.826m, 90^\circ]$$

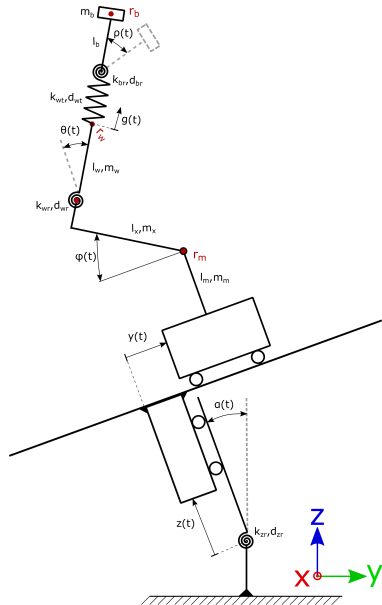
$$ee(t = T) = [0.04m, 0.826m, 0^\circ]$$

- ▶ PID Regler für jede Achskoordinate (sehr steif ausgelegt)
- ▶ Regelung mit Vorsteuerung und computed torque
- ▶ Vorgabe Bestückposition und -orientierung für t_0 und T , Umrechnung und Bahnplanung in Gelenkskoordinaten

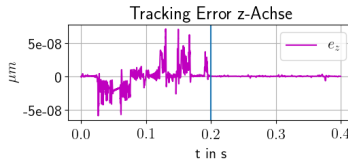
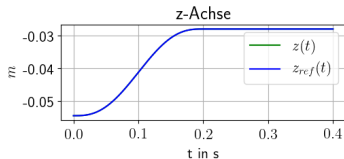
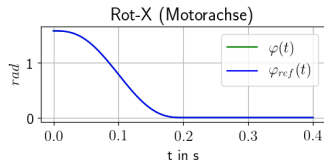
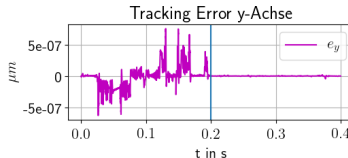
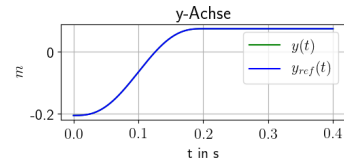


Übersicht der Simulationsszenarien

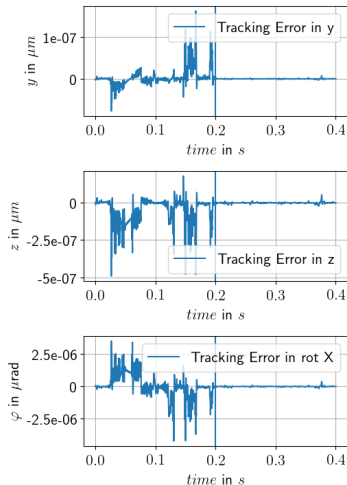
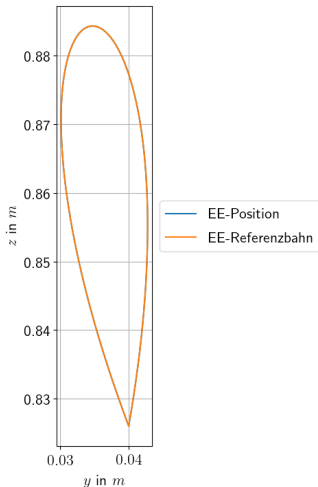
- ▶ **Simulation 1:** Starres System
- ▶ **Simulation 2:** Nur der Unterbau schwingt, restliches System ist starr (nur Biegefeder k_{zr})
- ▶ **Simulation 3:** Unterbau und RotBody-Achse sind schwingungsfähig (Biegefedern k_{zr} und k_{wr})
- ▶ **Simulation 4:** Vorsteuerung mit Input-shaping



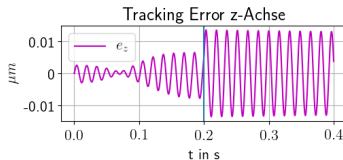
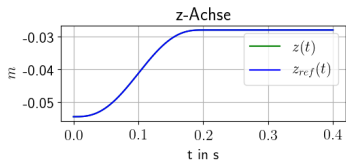
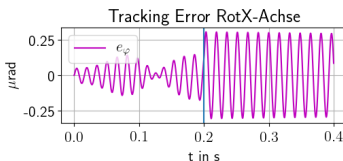
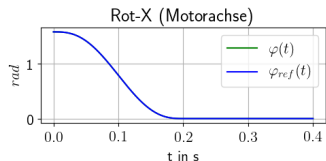
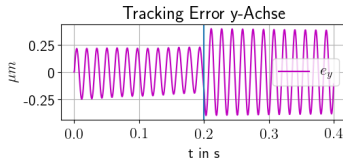
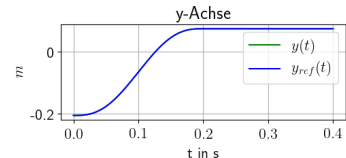
Fehlergrößenverlauf für die Simulation des starren Systems



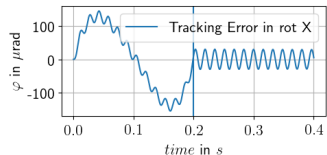
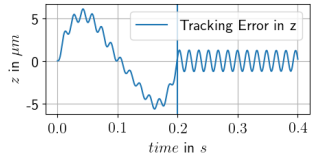
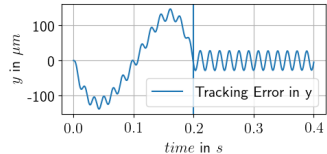
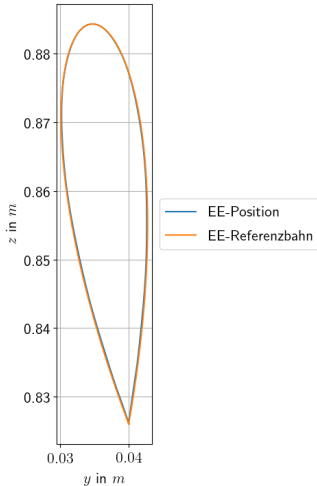
Bahnverlauf des Bestückpunktes in der Ebene (links), Fehlerverlauf der Bestückposition und -orientierung zur Referenzbahn (rechts)



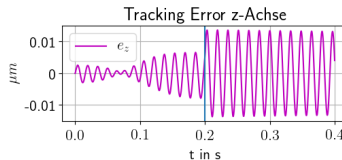
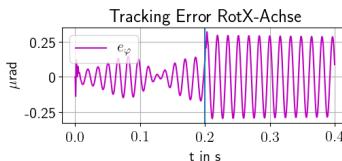
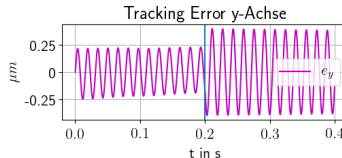
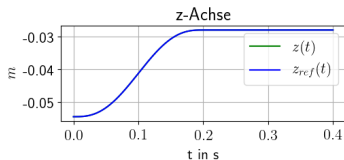
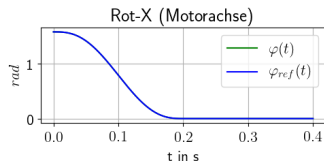
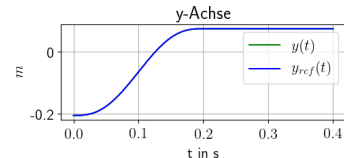
Fehlergrößenverlauf für die Simulation mit schwingendem Unterbau durch die Biegefeder k_{zT}



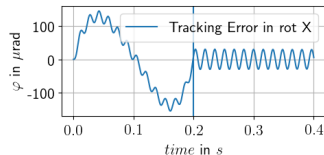
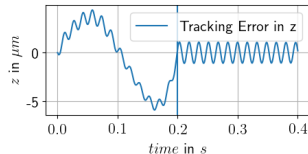
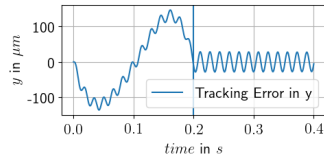
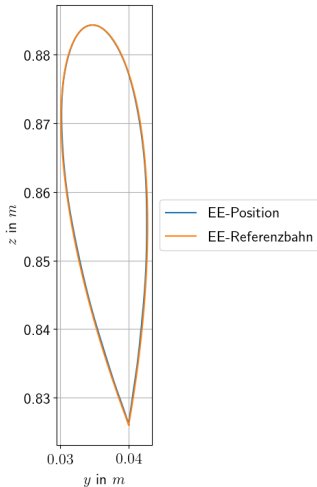
Bahnverlauf des Bestückpunktes in der Ebene (links), Fehlerverlauf der Bestückposition und -orientierung zur Referenzbahn (rechts)



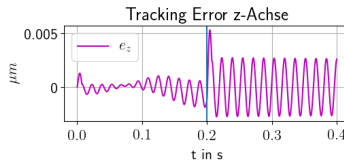
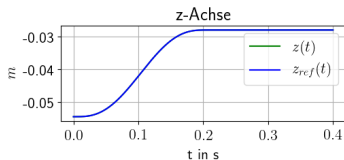
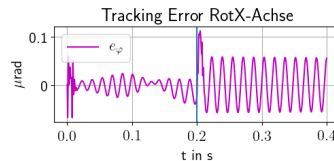
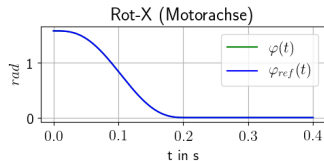
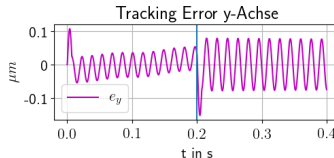
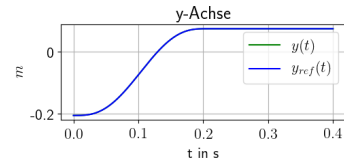
Fehlergrößenverlauf für die Simulation mit schwingendem Unterbau und schwingender RotBody-Achse



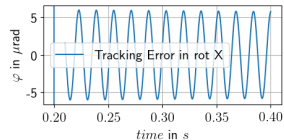
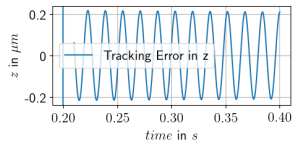
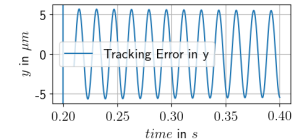
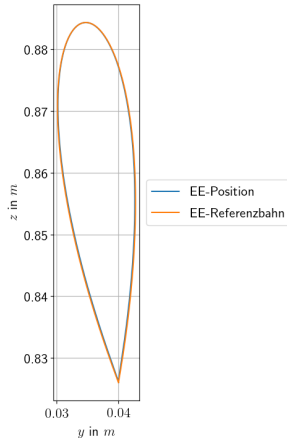
Bahnverlauf des Bestückpunktes in der Ebene (links), Fehlerverlauf der Bestückposition und -orientierung zur Referenzbahn (rechts)



Fehlergrößenverlauf für die Simulation mit schwingendem Unterbau und schwingender RotBody-Achse



Bahnverlauf des Bestückpunktes in der Ebene (links), Fehlerverlauf der Bestückposition und -orientierung zur Referenzbahn (rechts)



► 10Hz Fehler an Eigenfrequenz

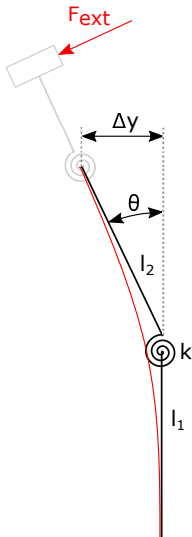
- 1 Ziel des Arbeitspaketes
- 2 Reduziertes Modell
 - Modell mit Parameter
 - Auswahl charakteristischer Federsteifigkeiten
- 3 Herleitung der Bewegungsgleichungen
- 4 Vorwärtskinematik
- 5 Ergebnisse
- 6 Verbesserungen des Modells
- 7 Next Steps

Problem:

- Deviationsanteile der Steifigkeitsmatrix sind für die Rot-Body-Achse nicht vernachlässigbar

Lösung:

- Annahme: Für das dynamische Verhalten sind die einwirkenden Momente sehr gering
- Idee: Verformung durch nur eine Drehfeder abbilden, wobei die Position und die Steifigkeit der Feder so gewählt wird, dass das gewünschte Verhalten erreicht wird
- 2. Schritt: Abstimmung der beiden Stäbe auf die Gesamtmasse, Gesamtlänge, resultierender Schwerpunkt und Eigenfrequenz



- 1 Ziel des Arbeitspaketes
- 2 Reduziertes Modell
 - Modell mit Parameter
 - Auswahl charakteristischer Federsteifigkeiten
- 3 Herleitung der Bewegungsgleichungen
- 4 Vorwärtskinematik
- 5 Ergebnisse
- 6 Verbesserungen des Modells
- 7 Next Steps

Die nächsten sinnvollen Schritte vom jetzigen Stand des Modells aus:

1. Elektrischer Teil des Motormodells implementieren
2. Daten für Spindelantrieb berücksichtigen (Steigung, Gesamtübersetzung)
3. Parameteridentifikation am Aufbau